

基于五阶WENO格式的时间分数阶Burgers方程的多重网格方法

白慧冉*, 魏英岚

长沙理工大学, 数学与统计学院, 湖南 长沙

收稿日期: 2023年2月8日; 录用日期: 2023年3月4日; 发布日期: 2023年3月13日

摘要

我们研究一种求解时间分数阶Burgers方程的多重网格方法。离散化过程中, 时间分数阶导数采用 L_1 公式逼近, 对流项运用Lax-Friedrichs通量近似计算。在数值实验中, 在不同的 γ 取值下进行了有效的数值实验, 结果证明该方法可以很好地模拟间断。

关键词

时间分数阶Burgers方程, 多重网格法, 五阶WENO格式

Multigrid Method for Time Fractional Burgers Equation Based on Fifth-Order WENO Scheme

Huiran Bai*, Yinglan Wei

Mathematical and Statistical Institute, Changsha University of Science and Technology, Changsha Hunan

Received: Feb. 8th, 2023; accepted: Mar. 4th, 2023; published: Mar. 13th, 2023

Abstract

We investigate a multigrid method for solving time-fractional Burgers equations. In the discretization process, the fractional derivative of time is approximated by the L_1 formula, and the convective term is calculated by Lax-Friedrichs flux approximation. In the numerical experiments, the

*通讯作者。

effective numerical experiments are carried out under different values of γ , and the results show that the method can simulate the discontinuity well.

Keywords

Time Fractional Burgers Equation, Multiple Grid Method, Fifth Order WENO Scheme

Copyright © 2023 by author(s) and Hans Publishers Inc.

This work is licensed under the Creative Commons Attribution International License (CC BY 4.0).

<http://creativecommons.org/licenses/by/4.0/>



Open Access

1. 引言

本文考虑如下时间分数阶 Burgers 方程[1]:

$$\frac{\partial^\gamma u(x,t)}{\partial t^\gamma} + 2u \frac{\partial u(x,t)}{\partial x} = 0 \quad (1)$$

其中 $a \leq x \leq b, 0 < t \leq T$ 。

满足初始条件

$$u(x,0) = g(x), a \leq x \leq b$$

以及合适的边界条件, 其中 $\gamma \in (0,1)$, $g(x)$ 为给定函数,

$$\frac{\partial^\gamma u(x,t)}{\partial t^\gamma} = \frac{1}{\Gamma(1-\gamma)} \int_0^t (t-\tau)^{-\gamma} \frac{\partial u(x,\tau)}{\partial \tau} d\tau$$

为 γ 阶 Caputo 分数阶导数, $\Gamma(x)$ 为 Gamma 函数。

近十年来,许多学者运用不同的数值方法对粘性时间分数阶 Burgers 方程进行了求解,例如, Duangpan 运用了有限积分法结合移位 Chebyshev 多项式[2], Akram 等提出了有限差分格式[3], Esen 和 Tasbozan 提出了三次 b 样条有限元搭配方法[4]等等。

2. 有限体积法离散

设 N, M 是两个正整数, 定义空间步长 $h = (b-a)/N$, 空间网格节点 $x_i = a + ih$, 其中 $i = 0, 1, \dots, N$; 定义空间半节点 $x_{\frac{i+1}{2}} = a + (i+1/2)h$ ($i = -1, 0, 1, \dots, N$), 得到 $N+1$ 个有限体单元 $[x_{\frac{i-1}{2}}, x_{\frac{i+1}{2}}]$ $i = 0, 1, \dots, N$ 。

定义时间步长 $\Delta t = T/M$, 时间网格节点 $t_k = k\Delta t$, 其中 $k = 0, 1, \dots, M$ 。对于函数 \mathbb{F} , 使用如下简写形式:

$$\mathbb{F}_{\frac{i+1}{2},n} = \mathbb{F}\left(x_{\frac{i+1}{2}}, t_n\right), \mathbb{F}_{\frac{i+1}{2}} = \mathbb{F}\left(x_{\frac{i+1}{2}}\right).$$

在 $t = t_n$ 处计算式(1)并在单元 $[x_{\frac{i-1}{2}}, x_{\frac{i+1}{2}}]$ 上对方程进行积分, 得到

$$h \frac{\partial^\gamma \bar{u}_i(t_n)}{\partial t^\gamma} + \left(f(u)_{\frac{i+1}{2},n} - f(u)_{\frac{i-1}{2},n} \right) = 0, i = 0, 1, \dots, N \quad (2)$$

其中 $\bar{u}_i(t) = \int_{x_{i-\frac{1}{2}}}^{x_{i+\frac{1}{2}}} u(x, t) dx / h$ 表示 $u(x, t)$ 在区间 $(x_{i-\frac{1}{2}}, x_{i+\frac{1}{2}})$ 上的平均值。

令 U_i^n 表示 $\bar{u}_i(t_n)$ 的数值近似, 对式(2)的等式左端第一项运用 L_1 公式逼近[5], 取 $a_k = (k+1)^{1-\alpha} - k^{1-\alpha}$:

$$h \left| \frac{\partial^\gamma \bar{u}_i(t_n)}{\partial t^\gamma} \right| \approx \frac{h \Delta t^{-\gamma}}{\Gamma(2-\gamma)} \left(U_i^n - \sum_{k=1}^{n-1} (a_{n-k-1} - a_{n-k}) U_i^k - a_{n-1} U_i^0 \right). \quad (3)$$

其中(2)式中的通量近似为

$$f(u)_{i+\frac{1}{2}, n} \approx F \left(U_{i+\frac{1}{2}}^{n,-}, U_{i+\frac{1}{2}}^{n,+} \right) \quad (4)$$

$$f(u)_{i-\frac{1}{2}, n} \approx F \left(U_{i-\frac{1}{2}}^{n,-}, U_{i-\frac{1}{2}}^{n,+} \right) \quad (5)$$

结合式(2)、(3)、(4)及(5), 可以得到最终的离散形式为

$$\frac{h \Delta t^{-\gamma}}{\Gamma(2-\gamma)} \left(U_i^n - \sum_{k=1}^{n-1} (a_{n-k-1} - a_{n-k}) U_i^k - a_{n-1} U_i^0 \right) + F \left(U_{i+\frac{1}{2}}^{n,-}, U_{i+\frac{1}{2}}^{n,+} \right) - F \left(U_{i-\frac{1}{2}}^{n,-}, U_{i-\frac{1}{2}}^{n,+} \right) = 0. \quad (6)$$

(6)式中的 $F \left(U_{i+\frac{1}{2}}^{n,-}, U_{i+\frac{1}{2}}^{n,+} \right)$ 是 Lax-Friedrichs 通量, 即

$$F \left(U_{i+\frac{1}{2}}^{n,-}, U_{i+\frac{1}{2}}^{n,+} \right) = \frac{f \left(U_{i+\frac{1}{2}}^{n,-} \right) + f \left(U_{i+\frac{1}{2}}^{n,+} \right)}{2} - \frac{\gamma}{2} \left(U_{i+\frac{1}{2}}^{n,+} - U_{i+\frac{1}{2}}^{n,-} \right). \quad (7)$$

其中, 取 $\gamma = \kappa \max_w |f'(w)|$, $U_{i+\frac{1}{2}}^{n,-}$, $U_{i+\frac{1}{2}}^{n,+}$ 分别表示在节点 $x_{i+1/2}$ 上的左近似与右近似, 对于左近似和右近似, 在下一节中将详细阐述。

3.5 阶 WENO 格式

对于上一节中的左近似与右近似: $U_{i+\frac{1}{2}}^{n,-}$, $U_{i+\frac{1}{2}}^{n,+}$, 我们用 5 阶 WENO 格式重构近似计算, 该算法是

将 $U_{i+\frac{1}{2}}^{n,-}$ 和 $U_{i+\frac{1}{2}}^{n,+}$ 分别利用一系列偏左、右侧的点值重构得到的。经典的五阶 WENO 格式如图 1 所示。

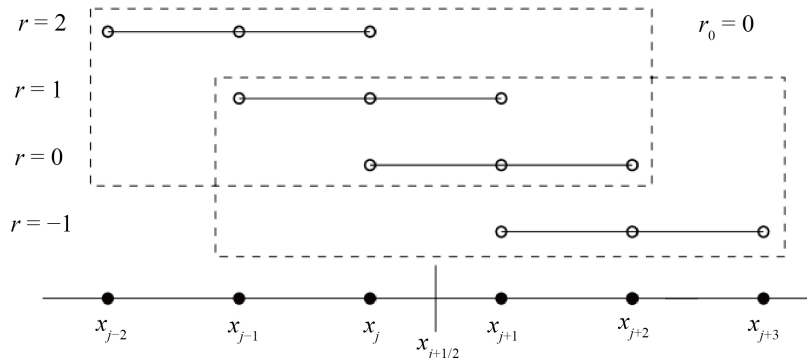


Figure 1. The model of the fifth-order WENO scheme
图 1.5 阶 WENO 示意图

$U_{i+\frac{1}{2}}^{n,-}$ 是利用图 1 一系列偏左侧的点重构得到的(即图 1 中的 $r_0 = 0$)， $U_{i+\frac{1}{2}}^{n,+}$ 是利用图 1 一系列偏右侧的点重构得到的(即图 1 中的 $r_0 = -1$)，这里 r_0 表示 r 的初始点。为了简化描述，在不引起混淆的情况下，省去 $U_{i+\frac{1}{2}}^{n,-}$ 和 $U_{i+\frac{1}{2}}^{n,+}$ 的上标“+”，“-”和“n”。 $U_{i+\frac{1}{2}}$ 的五阶 WENO 重构可表示为：

$$U_{i+\frac{1}{2}} = \sum_{r=r_0}^{2+r_0} \omega_r^{r_0} U_{i+\frac{1}{2}}^{(r)} \quad (8)$$

(8)式中的 $U_{i+\frac{1}{2}}^{(r)}$ 可写为 $U_{i+\frac{1}{2}}^{(r)} = \sum_{j=0}^2 c_{jr}^3 \bar{U}_{i-r+j}$ ，非线性权重 $\omega_r^{r_0}$ 为

$$\omega_r^{r_0} = \frac{\sigma_r}{\sum_{s=0}^2 \sigma_s}, \sigma_r = \frac{d_r^{r_0}}{(\varepsilon + \beta_r)^2} \quad (9)$$

其中， $\varepsilon \ll 1$ ，通常取 $\varepsilon = 10^{-6}$ ， $d_r^{r_0}$ 是线性权重。上述中系数 c_{jr}^3 和 $d_r^{r_0}$ 的选取可参见文献[6]。

光滑指示因子 β_r 可以表示为：

$$\begin{cases} \beta_0 = \frac{13}{12} (\bar{U}_i - 2\bar{U}_{i+1} + \bar{U}_{i+2})^2 + \frac{1}{4} (3\bar{U}_i - 4\bar{U}_{i+1} + \bar{U}_{i+2})^2, \\ \beta_1 = \frac{13}{12} (\bar{U}_{i-1} - 2\bar{U}_i + \bar{U}_{i+2})^2 + \frac{1}{4} (\bar{U}_{i-1} - \bar{U}_{i+1})^2, \\ \beta_2 = \frac{13}{12} (\bar{U}_{i-2} - 2\bar{U}_{i-1} + \bar{U}_i)^2 + \frac{1}{4} (\bar{U}_{i-2} - 4\bar{U}_{i-1} + 3\bar{U}_i)^2. \end{cases}$$

4. 多重网格方法

本文使用多重网格迭代方法，由于空间系统是强非线性的，我们将使用非线性多重网格方法——FAS 多重网格方法[7]。

假设三个正整数 $N, N_0, level$ 满足式：

$$N = N_0 \times 2^{level-1}$$

构建一个空间网格体系 $\{\Gamma_k\}_{k=1}^{level}$ ，假设最细网格 Γ_1 的网格大小为 $h_1 = h$ ，对于 $k = 2, 3, \dots, level$ ， Γ_k 的网格大小为 $h_k = 2^{k-1}h$ ，其中 $N_k = N/2^{k-1}$ 表示 Γ_k 的网格数量，下文中与 Γ_k 有关的量以上标 h_k 的形式书写，例如 U^{h_k} 。

在每一层网格上，对问题采用如下不动点迭代方法求解：

$$\left(\frac{h_k \Delta t^{-\alpha}}{\Gamma(2-\alpha)} + \lambda^{h_k} h_k \right) \hat{V}_i^{h_k} = r_i^{h_k} + \lambda^{h_k} h_k \tilde{V}_i^{h_k} - \left(F\left(\tilde{V}_{i+\frac{1}{2}}^{h_k,-}, \tilde{V}_{i+\frac{1}{2}}^{h_k,+}\right) - F\left(\tilde{V}_{i-\frac{1}{2}}^{h_k,-}, \tilde{V}_{i-\frac{1}{2}}^{h_k,+}\right) \right), \quad (10)$$

其中 $r_i^{h_k} = \frac{h_k \Delta t^{-\alpha}}{\Gamma(2-\alpha)} \left(\sum_{k=1}^{n-1} (a_{n-k-1} - a_{n-k}) \tilde{V}_i^k + a_{n-1} \tilde{V}_i^0 \right)$ ， $\hat{V}_i^{h_k}$ 和 $\tilde{V}_i^{h_k}$ 分别为一次迭代过程中的新近似解和旧近似解， λ^{h_k} 为一个能够保证迭代方法收敛性的合适的正数。

下面提出求解方程的两层多重网格迭代方法，我们定义延拓和限制算子来实现相邻网格之间的数据传输，其中，延拓算子定义为 I_{2h}^h ，即

$$U^h = I_{2h}^h U^{2h}$$

定义为：

$$\begin{cases} U_{2i}^h = U_i^{2h} \\ U_{2i+1}^h = \frac{1}{2}(U_i^{2h} + U_{i+1}^{2h}) \end{cases}$$

限制算子定义为 I_h^{2h} , 即

$$U^{2h} = I_h^{2h} U^h$$

定义为:

$$U_i^{2h} = \frac{1}{4}(U_{2i-1}^h + 2U_{2i}^h + U_{2i+1}^h)$$

以下提出求解方程的多重网格迭代方法步骤:

- 步 1: 在细网格上运用(8)式计算离散方程 $A(u^h) = f^h$, 一般迭代次数为 2~3 次;
步 2: 细网格上的残差和近似解均限制到粗网格上, 并求解细网格上离散方程:

$$A^{2h}(u^{2h}) = A^{2h}(I_h^{2h}\bar{u}^h) + I_h^{2h}(f^h - A^h(\bar{u}^h)) = f^{2h}$$

步 3: 作粗网格修正:

$$\bar{u}^h \leftarrow \bar{u}^h + I_{2h}^h(\bar{u}^{2h} - \bar{u}^{2h}).$$

5. 数值实验

算例 1 令计算域为 $[a,b] \times (0,T) = [-1,3] \times (0,0.2]$, 初始条件为 $u(x,0) = -\sin(\pi x)$, 边值条件为 $u(a) = u(b) = 0$, 取 $N = 256$, $M = 100$, 当 $\gamma = 0.9, 0.7, 0.5, 0.3$ 时方程(1)的数值解如下图 2:

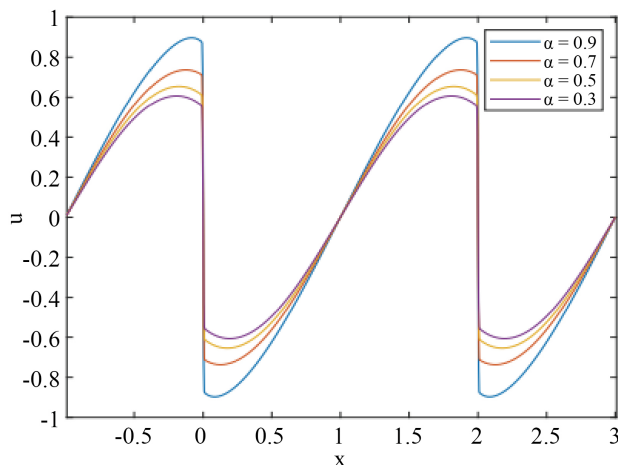


Figure 2. Numerical results of example 1

图 2. 算例 1 的数值结果

算例 2 令计算域为 $[a,b] \times (0,T) = [-1,2] \times (0,0.2]$, 初始条件为 $u(x,0) = \begin{cases} 0, & x \geq 0 \\ 1, & x < 0 \end{cases}$, 边值条件为 $u(a) = 1, u(b) = 0$, 取 $N = 256, M = 128$, 当 $\gamma = 0.9, 0.7, 0.5, 0.3$ 时方程(1)的数值解如下图 3:

根据图 2 和图 3, 我们可以看出: 算例 1 中的初始条件是连续函数, 随着时间的推进, 数值解演化成激波; 算例 2 中的初始条件是分段函数, 然而随着时间的推进, 数值解演化成稀疏波。

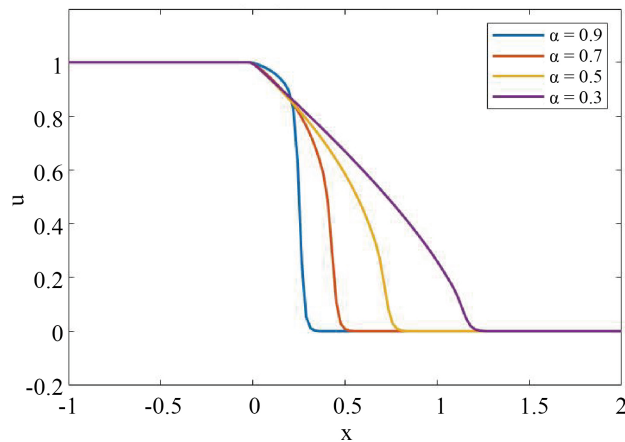


Figure 3. Numerical results of example 2
图 3. 算例 2 的数值结果

6. 总结

本文运用多重网格迭代方法求解时间分数阶 Burgers 方程, 对于对流项中的通量, 我们运用 Lax-Friedrichs 通量近似计算, 并对于通量中的左近似和右近似采用 5 阶 WENO 格式重构近似。文中计算了两个算例在 $\gamma = 0.9, 0.7, 0.5, 0.3$ 时方程的数值解, 可以看出该方法模拟间断的效果很好。

参考文献

- [1] Chen, L., Lü, S. and Xu, T. (2021) Fourier Spectral Approximation for Time Fractional Burgers Equation with Non-smooth Solutions. *Applied Numerical Mathematics*, **169**, 164-178. <https://doi.org/10.1016/j.apnum.2021.05.022>
- [2] Duangpan, A., Boonklurb, R. and Treeyaprasert, T. (2019) Finite Integration Method with Shifted Chebyshev Polynomials for Solving Time-Fractional Burgers' Equations. *Mathematics*, **7**, 1201. <https://doi.org/10.3390/math7121201>
- [3] Akram, T., Abbas, M., Riaz, M.B., et al. (2020) An Efficient Numerical Technique for Solving Time Fractional Burgers Equation. *Alexandria Engineering Journal*, **59**, 2201-2220. <https://doi.org/10.1016/j.aej.2020.01.048>
- [4] Esen, A., Bulut, F. and Oruç, Ö. (2016) A Unified Approach for the Numerical Solution of Time Fractional Burgers' Type Equations. *The European Physical Journal Plus*, **131**, 1-13. <https://doi.org/10.1140/epjp/i2016-16116-5>
- [5] Langlands, T.A.M. and Henry, B.I. (2005) The Accuracy and Stability of an Implicit Solution Method for the Fractional Diffusion Equation. *Journal of Computational Physics*, **205**, 719-736. <https://doi.org/10.1016/j.jcp.2004.11.025>
- [6] Hesthaven, J.S. (2017) Numerical Methods for Conservation Laws: From Analysis to Algorithms. Society for Industrial and Applied Mathematics. <https://doi.org/10.1137/1.9781611975109>
- [7] Briggs, W.L., Henson, V.E. and McCormick, S.F. (2000) A Multigrid Tutorial. Society for Industrial and Applied Mathematics. <https://doi.org/10.1137/1.9780898719505>